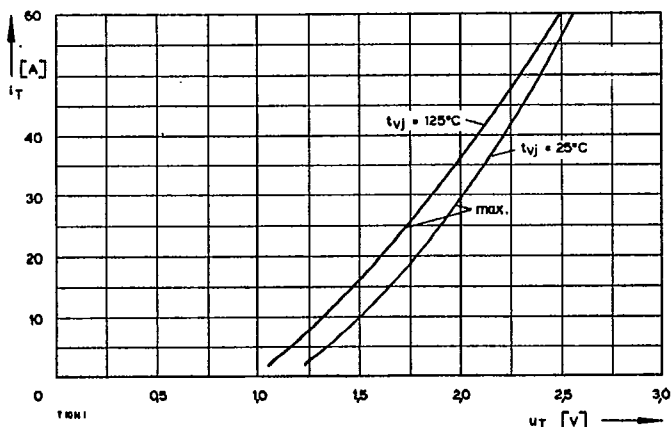


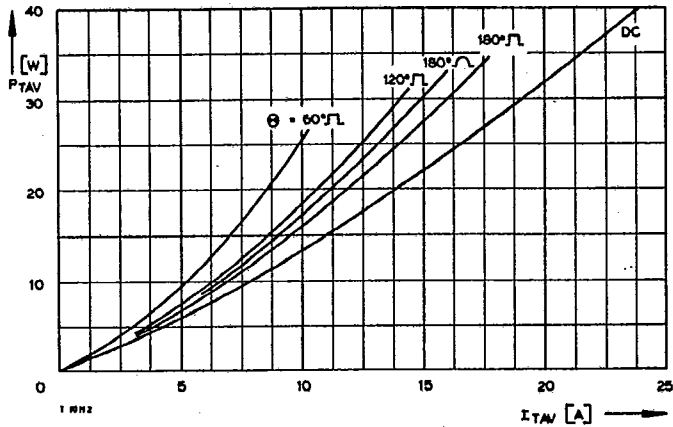
Type Range		T 10 N	100*	200	300	400	500	600	700	800	900*
<b>Elektrische Eigenschaften</b>		<b>Electrical properties</b>									
<b>Höchstzulässige Werte</b>		<b>Maximum permissible values</b>									
$U_{DRM}$ , $U_{RRM}$	Periodische Vorwärts- und Rückwärts-Spitzenperrspannung	repetitive peak forward off-state and reverse voltages								100...900	V
$I_{TRMSM}$	Effektiver Durchlaßstrom	RMS on-state current								25	A
$I_{TAVM}$	Dauergrenzstrom	average on-state current	$t_c = 85^\circ\text{C}$							10	A
$I_{TRM}$	Periodischer Spitzenstrom	repetitive peak on-state current	$t_c = 46^\circ\text{C}$							16	A
$I_{TSM}$	Stoßstrom-Grenzwert	surge current	$t = 10\text{ ms}, t_{ij} = 45^\circ\text{C}$							150	A
$\int I^2 dt$	Grenzlastintegral	$\int I^2 dt$ -value	$t = 10\text{ ms}, t_{ij} = 125^\circ\text{C}$							160	A
$(di/dt)_{cr}$	Kritische Stromsteilheit	critical rate of rise of on-state current	$t = 10\text{ ms}, t_{ij} = 125^\circ\text{C}$							135	A
$(du/dt)_{cr}$	Kritische Spannungssteilheit	critical rate of rise of off-state voltage	nicht periodisch/non repetitive							130	A <sup>2</sup> s
			Dauerbetrieb/continuous operation, $I_{TM} = 100\text{ A}$							90	A <sup>2</sup> s
			Steuergenerator/pulse generator: $U_L = 8\text{ V}, I_K = 0,1\text{ A}, dI_K/dt \geq 0,2\text{ A}/\mu\text{s}$							500	A/ $\mu$ s
			$U_D = 67\% U_{DRM}$							100	A/ $\mu$ s
			5. Kennbuchstabe/5th letter <b>B</b>							50	V/ $\mu$ s
			5. Kennbuchstabe/5th letter <b>C</b>							400	V/ $\mu$ s
			5. Kennbuchstabe/5th letter <b>F</b>							1000	V/ $\mu$ s
<b>Charakteristische Werte</b>		<b>Characteristic values</b>									
$U_T$	Obere Durchlaßspannung	max. on-state voltage	$t_M = 25^\circ\text{C}, I_T = 40\text{ A}$							2,2	V
$U_{(TO)}$	Schleusenspannung	threshold voltage	$t_M = 125^\circ\text{C}$							1,1	V
$r_T$	Ersatzwiderstand	slope resistance	$t_M = 125^\circ\text{C}$							24	m $\Omega$
$U_{OT}$	Obere Zündspannung	max. gate trigger voltage	$t_M = 25^\circ\text{C}, U_D = 6\text{ V}, R_A = 10\Omega$							2	V
$I_{OT}$	Oberer Zündstrom	max. gate trigger current	$t_M = 25^\circ\text{C}, U_D = 6\text{ V}, R_A = 10\Omega$							30	mA
	Unterer Zündstrom	min. gate trigger current	$t_M = 125^\circ\text{C}, U_D = 6\text{ V}, R_A = 10\Omega$							0,5	mA
$I_H$	Oberer Haltestrom	max. holding current	$t_M = 25^\circ\text{C}, U_D = 6\text{ V}, R_A = 10\Omega$							80	mA
$I_L$	Oberer Einraststrom	max. latching current	$t_M = 25^\circ\text{C}, U_D = 6\text{ V}, R_{AK} \geq 20\Omega$							200	mA
			Steuergenerator/pulse generator: $U_L = 8\text{ V}, I_K = 0,1\text{ A}, t_k = 0,1\mu\text{s}, t_g = 10\mu\text{s}$								
$I_D, I_R$	Oberer Vorwärts- und Rückwärts-Sperrstrom	max. forward off-state and reverse currents	$t_M = 125^\circ\text{C}, U_D = U_{DRM} (U_R = U_{RRM})$							3	mA
$t_{gd}$	Oberer Zündverzug	max. gate controlled delay time								2	$\mu$ s
$t_q$	Typische Freiwerdezeit	typical turn-off time								50	$\mu$ s
$C_{null}$	Typische Nullkapazität	typical zero capacitance	Steuergenerator/pulse generator: $U_L = 8\text{ V}, I_K = 0,1\text{ A}, t_k = 0,1\mu\text{s}$							150	pF
<b>Thermische Eigenschaften</b>		<b>Thermal properties</b>									
$R_{thJC}$	Innerer Wärmewiderstand	thermal resistance, junction to case	$\Theta = 180^\circ\text{el, sinus}$							$\leq 2,4^\circ\text{C/W}$	
		operating temperature	DC							$\leq 2,1^\circ\text{C/W}$	
		storage temperature								-40°C...+125°C	
										-40°C...+130°C	
<b>Mechanische Eigenschaften</b>		<b>Mechanical properties</b>									
$G$	Si-Element glaspassiviert, gelötet	Si-pellet glass-passivated, soldered								12/12/8 g	
$M$	Gewicht, Bauform C/U/H	weight, case design C/U/H								2 Nm	
	Anzugsdrehmoment	tightening torque								Seite/page 231	
	Maßbilder	outlines								1 mm	
	Kriechstrecke	creepage distance								C	
	Feuchtekategorie	humidity classification									
	Schüttelfestigkeit	vibration resistance	DIN 40040								
			$f = 50\text{ Hz}$							5x9,81 m/s <sup>2</sup>	

\* Für größere Stückzahlen bitte Liefertermin erfragen/Delivery for larger quantities on request

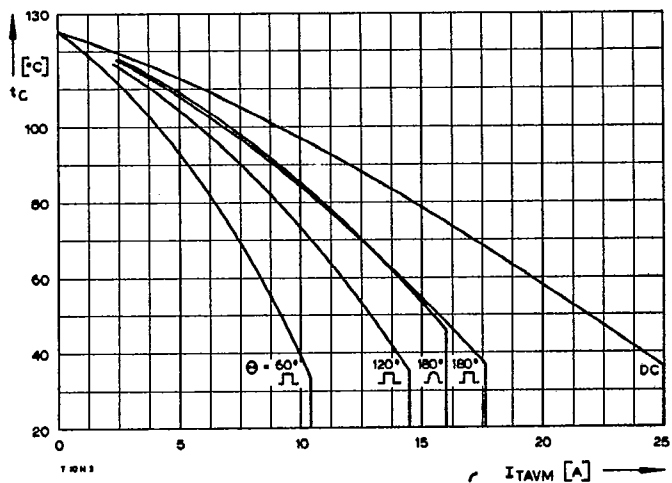
## T 10 N



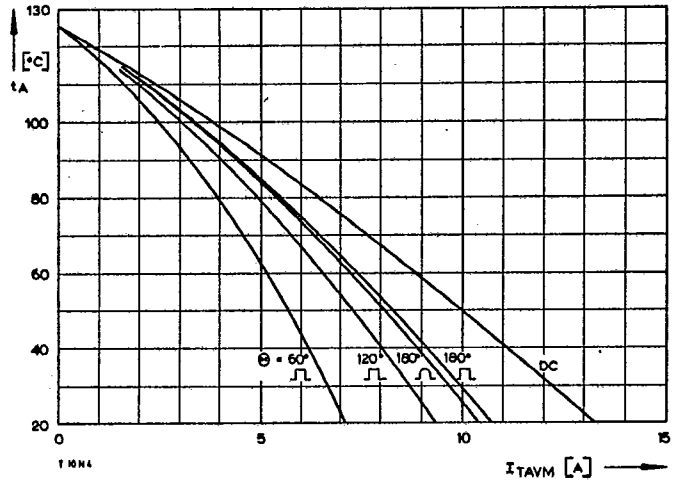
Bild/Fig. 1  
Durchlaßkennlinien  
On-state characteristics



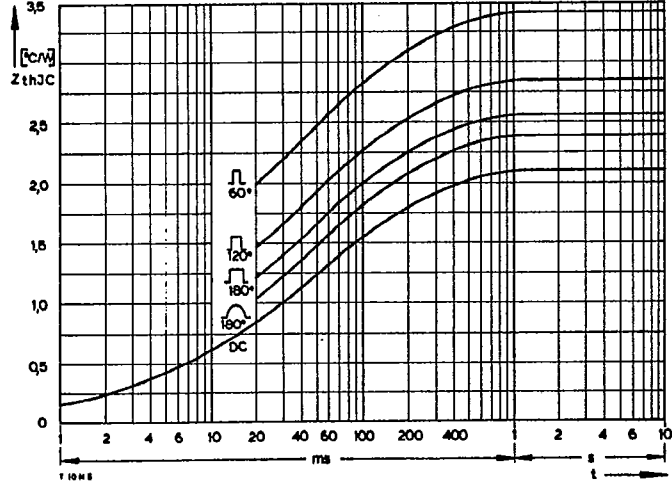
Bild/Fig. 2  
Durchlaßverlustleistung P\_{TAV}  
On-state power dissipation P\_{TAV}



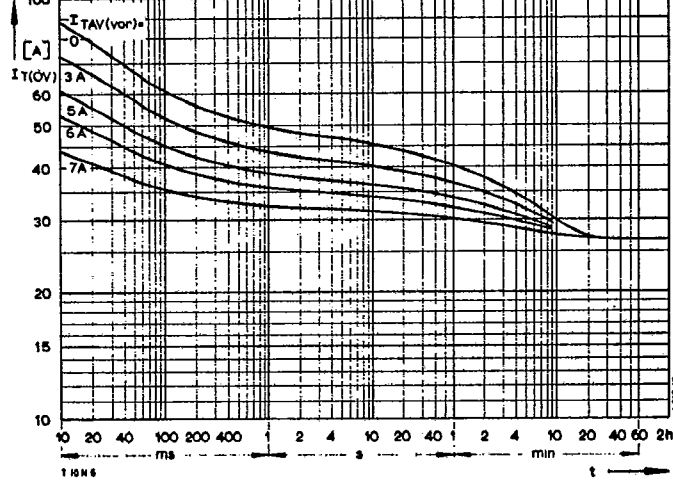
Bild/Fig. 3  
Höchstzulässige Gehäusetemperatur t\_c  
Maximum allowable case temperature t\_c



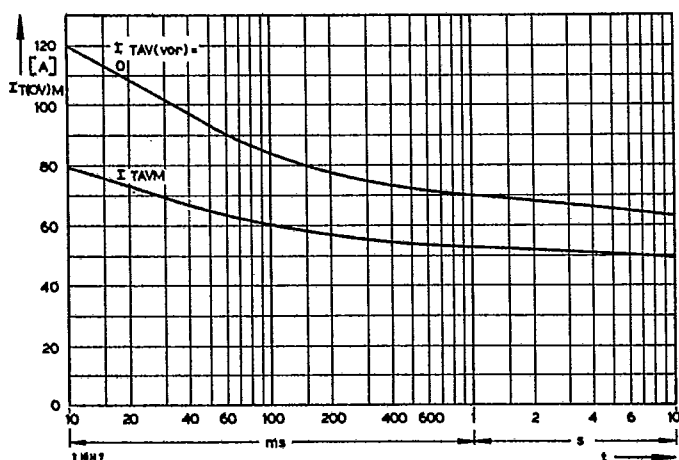
Bild/Fig. 4  
Höchstzulässige Kühlmitteltemperatur t\_A bei Luftselbstkühlung,  
Kühlkörper KL 21 B  
Maximum allowable coolant temperature t\_A at natural cooling,  
heatsink type KL 21 B



Bild/Fig. 5  
Transient innerer Wärmewiderstand Z\_{thJC}  
Transient thermal impedance, junction to case, Z\_{thJC}



Bild/Fig. 6  
Oberstrom I\_{T(OV)} bei Luftselbstkühlung, t\_A = 45°C, Kühlkörper KL 21 B  
Overload on-state current I\_{T(OV)} at natural cooling, t\_A = 45°C,  
heatsink type KL 21 B  
Paramater: Vorlaststrom/pre-load current I\_{TAV(vor)}

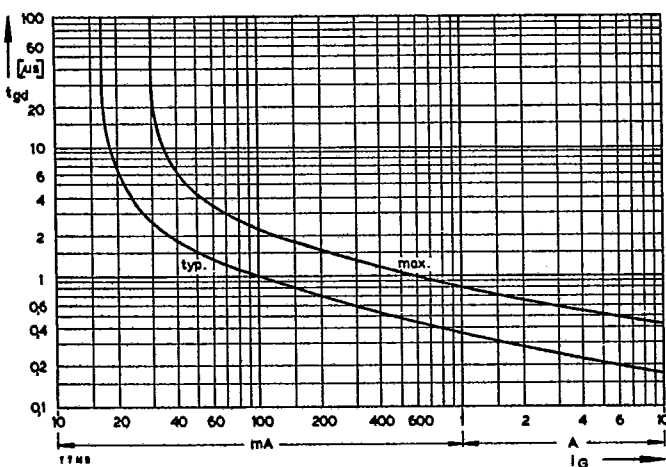


Bild/Fig. 7

Grenzstrom  $I_{TOVM}$  bei Luftselbstkühlung, Kühlkörper KL 21 B und  $U_{RM} = 0,8 U_{RRM}$ .  
Limiting overload on-state current  $I_{TOVM}$  at natural cooling, heatsink type KL 21 B  
and  $U_{RM} = 0,8 U_{RRM}$ .

$I_{AV(vor)} = 0$ : Belastung aus Leerlauf/current surge under no-load conditions

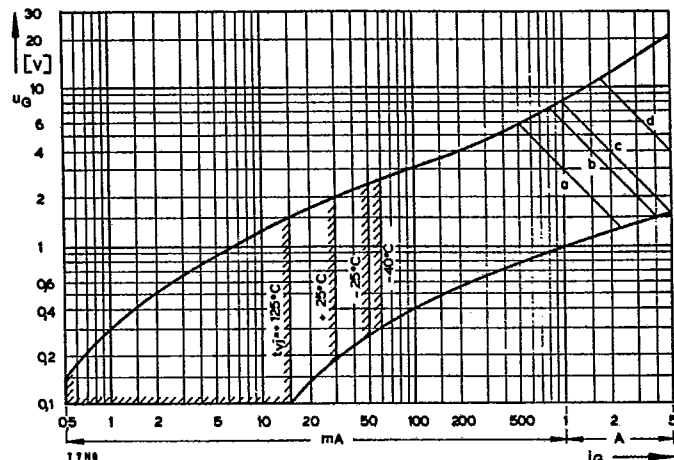
$I_{AV(vor)} = I_{AVM}$ : Belastung nach Betrieb mit Dauergrenzstrom  $I_{AVM}$ /  
current surge occurs during operation at limiting mean  
on-state current  $I_{AVM}$



Bild/Fig. 9

Zündverzug  $t_{gd}$

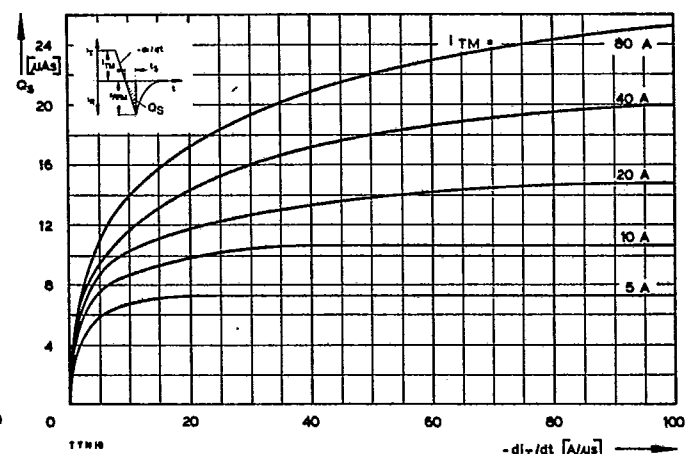
Gate controlled delay time  $t_{gd}$



Bild/Fig. 8

Zündbereich und Spitzensteuerleistung bei  $U_D \geq 6$  V.  
Gate characteristic and peak gate power dissipation at  $U_D \geq 6$  V.

Parameter:	a	b	c	d
Steuerimpulsdauer/Pulse duration $t_g$ [ns]	10	1	0,5	0,1
Höchstzulässige Spitzensteuerleistung/ Maximum allowable peak gate power [W]	3	6	8	20



Bild/Fig. 10

Nachlaufladung  $Q_s$  in Abhängigkeit von der abkommunizierenden Stromstetigkeit  
 $-di/dt$  bei  $t_f = 125^\circ\text{C}$ .

Der angegebene Verlauf wird von 90% aller Thyristoren nicht überschritten.  
Lag charge  $Q_s$  versus the rate of decay of the forward on-state current  
 $-di/dt$  at  $t_f = 125^\circ\text{C}$ .

These curves are valid for 90% of all thyristors.